

## 소파블록 Eco-TPP의 성능평가를 위한 수리모형실험 Hydraulic Experiment on the Performance of the Eco-TPP Armor Block

오상호<sup>1</sup>, 오영민<sup>2</sup>, 안창섭<sup>3</sup>, 박성훈<sup>4</sup>  
Sang-Ho Oh<sup>1</sup>, Young Min Oh<sup>2</sup>, Chang Seob Ahn<sup>3</sup> and Sung Hun Park<sup>4</sup>

### 1. 서 론

경사식 방파제의 피복재로는 과거에는 채석재를 주로 사용하였지만 최근에는 대부분 인공 콘크리트 소파블록을 사용하고 있다. 지금까지 국내·외에서 다양한 형태의 소파블록이 개발되었는데, 이 중에서 테트라포드(TTP)가 가장 널리 사용되고 있으며 우리나라에서도 시공실적이 가장 많다. 그러나 테트라포드보다 소파효과 및 사면안정성이 높은 소파블록을 개발하려는 노력이 지속적으로 이루어지고 있다.

이 연구에서는 최근에 개발된 소파블록의 일종인 Eco-TPP(Fig. 1)를 이용하여 축조된 방파제의 사면안정성 및 반사특성을 검토하기 위하여 수리모형실험을 수행하였다. 또한, 기존 테트라포드에 대해서도 수리모형실험을 일부 수행하여 소파블록의 성능을 서로 비교하였다. 한편, 본 연구와 유사한 선행연구로 홍군희 등(1999) 및 전인식 등(2000)이 OTP 소파블록의 성능 평가를 위한 수리모형실험을 수행한 바 있다.

### 2. 수리모형실험

#### 2.1 실험수조 및 수로 구성

실험에는 한국해양연구원의 2차원 조파수조를 사용하였다. 이 조파수조는 길이 53.15 m, 높이 1.25 m, 폭 1.0 m의 크기이다. Eco-TPP의 성능평가를 효율적으로 수행하기 위하여 수조의 종방향으로 연직분할판을 설치하여 수조를 폭 0.4 m의 협수로와 폭 0.6 m의 광수로로 분리하고, 모형은 폭 0.6 m의 광수로에

설치하였다. 협수로 후면에는 테트라포드로 사면이 완만한 소파공을 설치하였다.

#### 2.2 모형제작 및 설치

소파블록 Eco-TPP 모형의 제작된 모습을 Fig. 1에 나타내었다. 이 신형 소파블록은 인공어초 및 소파블록 겸용으로 개발된 다기능 블록으로서, 서로 일정한 각도를 유지하면서 정사면체의 꼭지점을 향해 방사상으로 형성되는 4개의 다리로 구성되며, 블록 중심에는 정사면체 형태의 빈 공간이 있다.

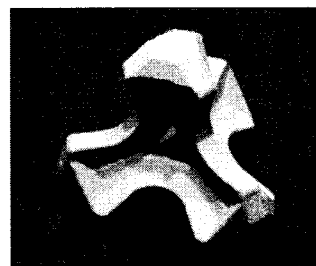


Fig. 1. Manufactured Eco-TPP model

Eco-TPP 모형은 실리콘 거푸집에 콘크리트를 타설하여 제작되었으며, 수조의 광수로 폭을 고려하여 현장 제원의 1/50 축척 모형을 제작하였다. 제작된 Eco-TPP는 표면 마찰을 줄이기 위하여 폐인트로 칠하였다. 제작이 완료된 Eco-TPP 모형의 사진을 Fig. 1에 제시하였다. Eco-TPP 모형의 수중포화상태에서의 중량 평균값은 200 g이었으며, 이를 1/50축척의 현장 조건으로 환산하면 약 25 ton에 해당한다. 소파블록의 수중포화상태에서의 비중은 2.25로 계산되었다.

<sup>1</sup> 한국해양연구원 연안개발·에너지연구부 연수연구원

<sup>2</sup> 한국해양연구원 연안개발·에너지연구부 책임연구원

<sup>3</sup> 한국종합기술 항만부 이사

<sup>4</sup> (주)태성건설 어초사업부 과장

### 2.3 실험 단면

모형 실험단면이 놓이게 될 해저면은 콘크리트 블루과면으로 제작하였다. 실험 단면은 소단을 포함하는 경사식 방파제 단면으로서, Table 1에 보인 것처럼 네 가지로 변화시키면서 실험을 수행하였다. Table 1에서  $S$ 는 실험단면 전면의 경사,  $N$ 은 사면 전체에 걸쳐 설치된 소파블록의 총 개수,  $n$ 은 공극률을 각각 나타낸다. Table 1에 보인 것처럼 Eco-TTP의 경우 1:1.5 경사에 대해서는 두 차례(S-1 및 S-2) 실험을 수행하였으며, 두 경우에 Eco-TTP의 총개수 및 공극률은 약간 달랐다. Eco-TTP 난적 거치의 의미는 피복층의 1층은 TTP정적과 유사한 방법으로 설치하고, 2층은 Eco-TTP의 다리 한 개가 아래로 향하게 하여 1층에 설치된 블록들 사이 공간 근처에서 자유낙하시켜 거치한 방식을 의미한다. Fig.2 및 Fig. 3에 수조 내에 설치된 S-2 실험단면의 모습을 제시하였다.

Table 1. Experimental conditions

ID	Type & Setup	$S$	$N$	$n$
S-1	Eco-TTP 2층난적	1:1.50	327	66.7%
S-2	Eco-TTP 2층난적	1:1.50	348	64.5%
S-3	Eco-TTP 2층난적	1:1.33	317	65.0%
S-4	TPP 2층정적	1:1.50	391	48.0%

일반적으로 특정 설계단면이 제시되지 않은 상태에서의 수리모형실험에서는 모형방파제 마루에 상치구조물을 설치하지 않지만, Fig. 2에 보인 것처럼 본 연구에서는 Eco-TTP가 실제 현장에 시공되었을 때의 방파제 단면 형태의 예시를 보이기 위해서 방파제 마루에 임의의 상치구조물을 설치하고, 그 때의 마루높이는 최대 실험파 작용시 월파가 거의 발생하지 않는 높이로 설정하였다. 한편, 소파블록과 방파제 자체 사이에는 현장 조건으로 약 2 ton 정도에 해당하는 중간피복 사석을 2층으로 피복하였고, 방파제 후면 항내측에는 별도의 소파공을 설치하지 않았다. 실험수위는 방파제 소단 전면에서 48 cm로 하였다. 본 실험에서 소파블록이 현장의 1/50 축척으로 제작된 점을 고려하면 현장환산 수심은 24 m에 해당된다.

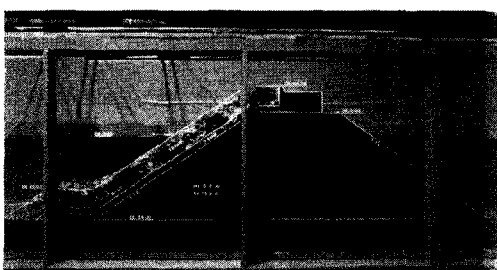


Fig. 2. Cross-sectional view of the S-2 setup



Fig. 3. Front view of the S-2 setup

### 2.4 실험파

실험파는 우리나라 연안해역의 파랑을 잘 대표한다고 평가되는 Bretschneider-Mitsuyasu 스펙트럼을 사용하여 작성하였다. Table 2에 보인 것처럼 현장 조건으로 주기 15 s 과에 대하여, 파고가 6 m에서 9 m까지 변화하도록 실험파를 결정하였다. 조파 시간은 실험실 조건으로 26분이었고, 조파 후 1분이 경과한 후부터 25분간의 자료를 분석에 이용하였다. 이 조파시간은 현장 조건으로는 3시간 정도에 해당된다.

Table 2. Experimental wave conditions

$T_s$ (s)	$H_s$ (m)							
	15.0	6.0	6.5	7.0	7.5	8.0	8.5	9.0

한편, 소파블록을 쌓은 후에 현장 조건으로 주기 15 s, 파고 3.5 m에 해당하는 파를 실험파 조파시간과 동일한 시간 동안 2회 반복 조파하여 사면에 설치된 피복재가 어느 정도 맞물릴 수 있도록 한 후에 Table 1에 보인 실험파를 차례로 조파하였다.

## 3. 실험결과 및 분석

### 3.1 사면 변형

#### 3.1.1 사면변형 분석 방법

경사식 방파제의 사면변형은 통상적으로 사면에 설치된 피복재가 파력에 의해 짜맞춤이 진행되는 과정에서 피복재 사이의 공극이 감소되면서 서서히 진행된다. 본 수리모형실험에서는 피복층의 미끄러짐을 정량적으로 평가하기 위하여 사면상에 걸쳐서 7개의 기준점을 설정하고, 실험파를 조파한 후에 피복층이 사면을 따라 미끄러져 내려간 누적 거리를 자로 측정하였다.

### 3.1.2 사면변형 분석 결과

Fig. 4에는 4가지 단면에 대한 미끄러짐 양을 서로 비교하였다. Fig. 4에서 수평축은 작용시킨 파의 파고 ( $H_s$ )를 나타내며, 연직축은 사면의 7개 기준점에서 측정된 소파블록 미끄러짐 양의 평균값( $\Delta L$ )을 소파블록의 특성길이( $l_c$ )로 나누어 무차원화한 값을 나타낸다. 본 실험의 경우 Eco-TPP의 평균 중량은 200g, 비중은 2.25였으므로 특성길이는  $(200/2.25)^{1/3} \approx 4.5$  cm이며, 테트라포드의 평균 중량은 248g, 비중은 2.24였으므로 특성길이는  $(248/2.24)^{1/3} \approx 4.8$  cm이다.

Fig. 4에서 볼 수 있듯이 파고가 증가할수록 사면의 미끄러짐 양은 증가하였다. 네 가지 실험단면 중에서 S-1단면의 사면 미끄러짐이 가장 크게 발생하였다. 특히  $H_s = 6.0$  m에서의 최초 미끄러짐 양이 매우 커 있으며, 그 이후에도 지속적으로 미끄러짐이 발생하였다. S-2단면의 경우에는 S-1단면과 마찬가지로 Eco-TPP를 1:1.5 사면에 난적으로 피복한 경우인데, 이 때에는 S-1단면에 비해서  $H_s = 6.0$  m에서의 최초 미끄러짐 양이 작게 발생하였고 파고의 증가에 따라서 미끄러짐 양이 선형적으로 증가하는 비율은 거의 비슷하였다. 이것은 Table 1에 제시된 것처럼 S-2단면의 경우에 피복된 Eco-TPP의 개수가 더 많아서 공극률이 작기 때문에 파의 작용에 따라 블록이 짜맞춰지면서 발생하는 최초 미끄러짐 양이 작았던 것으로 판단된다.

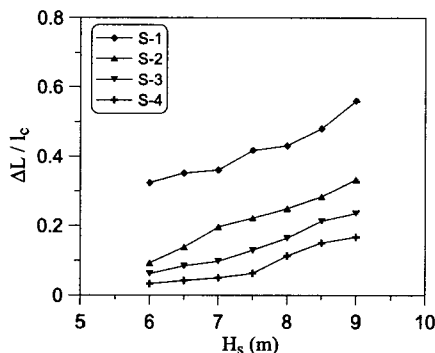


Fig. 4. Normalized sliding distance along the slope

S-3단면의 경우에는 사면의 경사가 1 : 1.33으로 더 급경사인 경우인데, 사면의 경사가 1 : 1.5인 S-1 및 S-2 단면에 비해서 최초 미끄러짐 양 및 이후에 발생한 미끄러짐 양이 더 적었다. 이것은 S-3단면의 경우 사면의 경사가 더 급하여 초기 설치시에 블록이 더 잘 짜맞춰지게 놓여짐으로써 미끄러짐양이 더 적었던 것으로 추정된다.

한편, 테트라포드를 정적으로 피복한 S-4단면의 경우에는 실험 단면 중에서 사면 미끄러짐양이 가장 적

었는데, 이것은 테트라포드의 공극률이 Eco-TPP에 비해서 작기 때문에 상대적으로 설치 직후의 짜맞춤이 더 잘 이루어졌기 때문인 것으로 보인다.

### 3.2 피해계수

#### 3.2.1 피해계수 분석 방법

주어진 파고에 대하여 사면에서 안정한 피복재의 중량을 예측하기 위해서는 일반적으로 다음 Hudson식을 사용한다.

$$W = \frac{\gamma_r H^3}{K_D (S_r - 1)^3 \cot \alpha} \quad (1)$$

여기서,  $W$  = 피복재의 소요 중량,  $\gamma_r$  = 피복재의 단위 중량,  $S_r$  = 피복재의 해수에 대한 비중,  $H$  = 파고,  $K_D$  = 피복재의 피해계수,  $\alpha$  = 사면이 수평면과 이루는 각도이다. 식(1)에서 피해계수  $K_D$ 란 주어진 파고에서 피복층의 피해율(damage level)이 5% 보다 작게 발생하는 피복재의 소요 중량에 상응하는 Hudson식의 계수를 의미한다. 따라서 피복재의 피해계수  $K_D$  값이 클수록 주어진 파에 대하여 안정한 피복재의 중량은 작게 된다.

식(1)을  $K_D$ 에 관한 식으로 표현하면 다음과 같다.

$$K_D = \frac{\gamma_r}{W(S_r - 1)^3 \cot \alpha} \quad (2)$$

피해율을 계산하기 위하여 Table 2에 제시된 실험파를 파고가 작은 것부터 순서대로 작용시켰다. 해양수산부(2001)에 제시된 바와 같이 피해율을 평가할 때에는 피복재가 파 작용 종료 후에 특성길이 이상 완전히 이탈한 개수는 물론, 제자리에서 회전 및 Rocking이 심하게 발생한 피복재 및 원래 위치에서 이탈되었다가 다시 복원된 피복재의 개수를 모두 고려하였다. 특히, 피복재의 제자리 회전 및 Rocking 현상에 따른 피해를 평가하는 데 일반적으로 통용되는 정량적인 기준이 없기 때문에, 본 수리모형실험에서는 피복재가 제자리에서 순간적으로 180° 이상 회전하는 현상이 반복적으로 발생하는 경우에는 그 피복재의 파괴가 발생하였다고 간주하였다(해양수산부, 2001). 또한, 원래 위치에서 이탈되었다가 복원된 피복재가 최종적으로 이탈된 경우 이를 피해로 중복 계산하지 않도록 유의하였다. 그리고 모든 경우에 사면의 양측면에서의 피해는 피해로 간주하지 않았다.

#### 3.2.2 피해계수 분석 결과

본 실험에서는 해양수산부(2001)의 방법을 따라 피복재의 피해가 발생하기 시작하는 파고를 한계파고

로 간주하여 피해계수를 산정하였다. Table 3에는 파고별로 발생한 피복재의 누적 피해량을 제시하였다.

Table 3. Cumulated number of damaged Eco-TPP blocks

$H_s$	S-1	S-2	S-3	S-4
6.0 m	0	0	0	0
6.5 m	0	0	0	0
7.0 m	1	0	0	1
7.5 m	1	1	1	2
8.0 m	2	2	2	3
8.5 m	4	4	3	5
9.0 m	5	5	6	7

S-1단면의 경우 피해가  $H_s = 7.0$  m부터 발생하기 시작하였고, 식(2)에  $W = 25$  ton,  $\gamma_r = 2.25$  ton/m<sup>3</sup>,  $S_r = 2.25$ ,  $\cot\alpha = 1.5$ 의 값을 대입하여 계산하면  $K_D = 10.5$ 의 값이 얻어진다. 한편, S-2단면의 경우에는 피해가  $H_s = 7.5$  m부터 발생하기 시작하였기 때문에 피해계수의 값은  $K_D = 13.0$ 이며, 이 두 값의 산술평균은  $K_D = 11.8$ 이 된다. S-2단면의 경우 Table 1에 제시된 것처럼 사면에 피복된 Eco-TPP의 개수가 21개 더 많아서 블록이 서로 더 촘촘하게 맞물리도록 쌓아졌기 때문에 S-1단면보다 더 큰 파인  $H_s = 7.5$  m부터 피해가 발생한 것으로 추정된다.

위에서 산정된 Eco-TPP의 피해계수의 값을 실해역에서 적용할 경우에는 다소 보수적으로 판단하는 것이 바람직하다. 왜냐하면, 예를 들어 S-1단면의 경우에는  $H_s = 6.5$  m에 대해서는 안정하였지만  $H_s = 7.0$  m에 대해서는 피해가 발생하였기 때문에  $6.5 \text{ m} < H_s \leq 7.0 \text{ m}$ 의 범위에서 피해가 발생하기 시작할 수 있으며, 그에 따라 피해계수가 더 작게 산정될 가능성이 있기 때문이다. 따라서 1 : 1.5 사면에 난적으로 피복된 신형 소파블록의 피해계수는  $K_D = 11.8$ 을 기본적으로 사용하되, 실제 현장에 적용할 때에는 이러한 점을 고려하여 피해계수 값을 약간 작게 평가하는 것이 바람직할 것으로 판단된다.

한편, 테트라포드를 이용하여 사면을 피복한 S-4단면의 경우에는  $W = 31$  ton,  $\gamma_r = 2.24$  ton/m<sup>3</sup>,  $S_r = 2.24$ 의 값을 식(2)에 대입하면  $K_D = 8.7$ 의 값이 구해지며, 이 값은 해양수산부(2001)에 제시된 테트라포드의 피해계수 값과 같다.

### 3.3 반사율

Table 4에 제시된 것처럼 수리모형실험이 오직 하나의 주기( $T_s = 15$  s)에 대해서만 이루어졌기 때문에 파고가 서로 다른 7개의 파 조건에 대하여 반사율( $K_r$ )을 계산하고 그 평균값을 구하였다. Table 4에는 각 단면별로 반사율의 평균값을 나타내었다.

Eco-TPP를 난적으로 피복하였을 때의 반사율은 1:1.5 사면의 경우 0.33~0.35였고, 1:1.33 사면의 경우 0.37이었다. 한편, 테트라포드를 정적으로 피복한 S-4의 반사율은 0.40으로 가장 높았다.

Table 4. Values of reflection coefficient

	S-1	S-2	S-3	S-4
$K_r$	0.33	0.35	0.37	0.40

위 결과로부터 Eco-TPP로 경사식 방파제의 사면을 피복하게 되면 테트라포드를 사용하는 경우에 비해 반사율이 10~18% 저감되는 효과가 있음을 알 수 있다. 실제로 Eco-TPP로 피복된 사면에 파가 부딪칠 때에는 테트라포드에 비해 쇄파가 더 활발하게 일어나며 유체 내부에 기포가 많이 발생하는 것을 육안으로 관찰할 수 있었으며, 소파효과가 더 우수한 것으로 판단된다. 그러나 본 수리모형실험에서는 모형방파제 후면에는 중간피복석 및 퍼복블록을 거치하지 않았기 때문에 Table 4에 제시한 반사율 값을 절대적인 값으로 평가해서는 안되며, 각 단면별 상대적인 비교 자료로 이해하는 것이 바람직하다.

## 4. 결 론

소파블록 Eco-TPP에 대한 수리모형실험 결과, Eco-TPP의 사면 미끄러짐 양은 테트라포드에 비해 다소 컷지만 블록 특성길이의 약 0.5배 이내의 범위였다. 소파블록의 안정 계산에 널리 쓰이는 Hudson 식에 따른 피해계수( $K_D$ ) 값은 약 11.8정도로 계산되어, 테트라포드보다 피해가 적게 발생할 것으로 예측된다. 또한, 반사율은 테트라포드에 비해 약 10%이상 낮아서 소파성능이 우수한 것으로 나타났다. 본 수리실험은 Eco-TPP블록이 경사식 방파제의 사면피복재로 쓰일 때의 기본 성능을 밝힌 것이며, 현장 적용시에는 구체적 설계단면에 대한 모형실험을 거쳐 소파블록의 성능을 최종 평가할 필요가 있다.

## 참고문현

- 전인식, 홍군희, 박현주 (2000). 신 소파블록 OTP의 월파 특성에 대한 실험적 고찰, 대한토목학회논문집, 20(2-B), 261-267.  
 해양수산부 (2001). 경사식 방파제의 최적설계기술개발(I)  
 홍군희, 전인식 (1999). 신 소파블록 Octopus의 성능 평가 수리실험. 대한토목학회논문집, 19(II-3), 359-374.